Indicateurs de fonctionnement des populations d'oiseaux communs issus du Suivi Temporel des Oiseaux Communs par Capture (STOC-Capture)

Infographie actualisée pour la station 1013 contenant les données du printemps 2022

Bagueur responsable de la station Hubert Dugue avec la participation de Patrick Chable, Julien Foucher, Blaise Raymond

Romain Lorrilliere, & le CRBPO[†]

09/03/2023

^{*}romain.lorrilliere@mnhn.fr

 $^{^\}dagger Centre de Recherches sur la Biologie des Populations d'Oiseaux Museum National d'Histoire Naturelle 43 rue Buffon - Bâtiment 135, CP Pierre-Yves Henry<math display="inline">^\ddagger 135,75005$ Paris https://crbpo.mnhn.fr/

Contents

Introd	luction	5
Métho	ode	5
Las	station 1013	5
Las	standardisation	7
Las	sélection des sessions	7
Les	efforts de capture	7
Cor	ndition de calcul des indicateurs	10
Variat	zion temporelle des indicateurs	10
Cor	nment interpréter les variations des indicateurs ?	10
Résult	tats	12
La	communauté échantillonée	12
L'in	ndice d'abondance des adultes comparé par habitat	14
L'in	ndice de productivité	21
L'in	ndice de la condition corporelle	28
Ind	ice de survie locale : le taux de retour entre années	33
List	of Figures	
1	La localisation de la station	6
2	Les sessions	8
3	Aide à l'interprétation des figures	11
4	Les espèces capturées	12
5	Variation du nombre d'adultes	14
6	Variation du nombre d'adultes de Fauvette à tête noire	15
7	Variation du nombre d'adultes de Hypolaïs polyglotte	15
8	Variation du nombre d'adultes de Accenteur mouchet	16
9	Variation du nombre d'adultes de Rossignol philomèle	16
10	Variation du nombre d'adultes de Fauvette grisette	16
11	Variation du nombre d'adultes de Pouillot véloce	17
12	Variation du nombre d'adultes de Bouscarle de Cetti	17
13	Variation du nombre d'adultes de Rougegorge familier	17
14	Variation du nombre d'adultes de Fauvette des jardins	18
15	Variation du nombre d'adultes de Linotte mélodieuse	18

16	Variation du nombre d'adultes de Troglodyte mignon	18
17	Variation du nombre d'adultes de Merle noir	19
18	Variation du nombre d'adultes de Grive musicienne	19
19	Variation du nombre d'adultes de Mésange bleue	19
20	Variation du nombre d'adultes de Mésange à longue queue	20
21	Variation du nombre d'adultes de Chardonneret élégant	20
22	Variation du nombre d'adultes de Pinson des arbres	20
23	Variation de la productivité	21
24	Variation de la productivité de Fauvette à tête noire	22
25	Variation de la productivité de Hypolaïs polyglotte	22
26	Variation de la productivité de Accenteur mouchet	23
27	Variation de la productivité de Rossignol philomèle	23
28	Variation de la productivité de Fauvette grisette	23
29	Variation de la productivité de Pouillot véloce	24
30	Variation de la productivité de Bouscarle de Cetti	24
31	Variation de la productivité de Rougegorge familier	24
32	Variation de la productivité de Fauvette des jardins	25
33	Variation de la productivité de Linotte mélodieuse	25
34	Variation de la productivité de Troglodyte mignon $\dots \dots \dots \dots \dots \dots \dots \dots$	25
35	Variation de la productivité de Merle noir	26
36	Variation de la productivité de Grive musicienne	26
37	Variation de la productivité de Mésange bleue	26
38	Variation de la productivité de Mésange à longue queue	27
39	Variation de la productivité de Mésange charbonnière	27
40	Variation de la condition corporelle globale	29
41	Variation de la condition corporelle de Fauvette à tête noire	30
42	Variation de la condition corporelle de Hypolaïs polyglotte	30
43	Variation de la condition corporelle de Accenteur mouchet	31
44	Variation de la condition corporelle de Rossignol philomèle	31
45	Variation de la condition corporelle de Fauvette grisette	31
46	Variation de la condition corporelle de Pouillot véloce	32
47	Variation de la condition corporelle de Bouscarle de Cetti	32
48	Variation de la condition corporelle de Rougegorge familier	32
49	Variation du taux de retour global	33
50	Variation du taux de retour Fauvette à tête noire	34
51	Variation du taux de retour Hypolaïs polyglotte	34

52	Variation du taux de retour Accenteur mouchet	35
53	Variation du taux de retour Rossignol philomèle	35
54	Variation du taux de retour Fauvette grisette	35
55	Variation du taux de retour Pouillot véloce	36
56	Variation du taux de retour Bouscarle de Cetti	36
57	Variation du taux de retour Rougegorge familier	36

Remerciements:

On remercie toutes les personnes qui ont participé au maintien et à l'amélioration du script de production de ce rapport, Adenot Nathalie, Auvray Coraline, Benboudjema Sophie, Blandin Gwenalan, Della Signora Carla, Fort Romane, Magliaraschi Ninon.

Introduction

Afin de renseigner l'impact des actions de gestion sur le fonctionnement des espaces naturels, il est nécessaire de documenter l'évolution des populations de la faune et de la flore occupant les sites gérés. Les espèces à faibles effectifs sont souvent l'objet d'une attention particulière, car la disparition d'une espèce est une manifestation spectaculaire et irréversible de perte de la biodiversité. Cependant, on ne peut se contenter de l'étude des espèces les plus rares comme outil de décision en biologie de la conservation, ne serait-ce que parce que les espèces rares ne sont, par définition, pas représentatives de l'ensemble de la faune. Ainsi le protocole STOC-Capture basé sur un échantillonnage standardisé, répété à l'identique d'année en année aux mêmes endroits, a pour objectif de suivre les changements de fonctionnement des populations d'oiseaux communs au cours du temps, et entre les sites suivis. Localement, le STOC Capture peut d'ailleurs également documenter le fonctionnement d'espèces d'oiseaux peu communes.

Le présent rapport infographique a pour but de caractériser à travers quelques indicateurs graphiques issus du STOC-Capture les variations temporelles d'état et de fonctionnement des populations d'oiseaux communs, en contrastant la station d'intérêt faisant l'objet du rapport (la station 1013) avec un ensemble de stations servant de référence.

Ces indicateurs ont vocation à documenter les variations, entre années et groupes de stations, de la taille des populations, de la production de jeunes (indicateur "Reproduction"), de la condition corporelle des individus, et du taux de retour des individus bagués l'année précédente (indicateur "Survie"). Ils peuvent varier en fonction de modifications locales (p. ex. gestion d'habitat sur le site, perturbations environnementales locales), mais aussi de perturbations à large échelle, telles que des anomalies climatiques (p. ex. printemps particulièrement chaud). Ainsi, l'intérêt des indicateurs locaux, comparant les fluctuations entre stations, est de permettre de séparer visuellement ce qui, parmi les changements des populations d'oiseaux communs locales, semble dû à des perturbations locales (dans ce cas, le changement annuel marqué ne se retrouve pas sur les autres stations) versus ce qui semble dû à des perturbations globales (à plus large échelle, et dans ce cas le changement annuel marqué se retrouve également sur plusieurs autres stations, et est perçu au niveau des groupes références).

Méthode

La station 1013

Afin de permettre des comparaisons avec une référence nationale ad-hoc les stations ont été classées en trois groupes et seront comparées aux autres stations du même groupe:

- Terrestre: Stations dont moins de 50% des individus capturés sont des oiseaux paludicoles
- Aquatique : Stations dont plus de 50% des individus capturés sont des oiseaux paludicoles
- Rozo : Stations réalisant le protocole spécifique STOC-ROZO

Dans une volonté de comparer des stations similaires, nous avons découpé la France en différentes régions, selon les régions biogéographiques utilisées par l'Agence européenne pour l'environnement (Plus d'informations dans ce document : http://www.eea.europa.eu/data-and-maps/data/biogeographical-regions-europe- 2005/methodology-description-pdf-format/methodology-description-pdf-format/at_download/file).

Il est à noter que, par manque de données, les stations STOC-rozo et aquatiques sont comparées entre elles et que les stations alpines (d'altitude supérieure à 1200m), méditerranéeennes et continentales sont comparées à toutes les stations terrestres de France.

La station 1013 terrestre est dans la région atlantique, elle sera comparée à l'ensemble des stations atlantiques terrestres (figure 1).

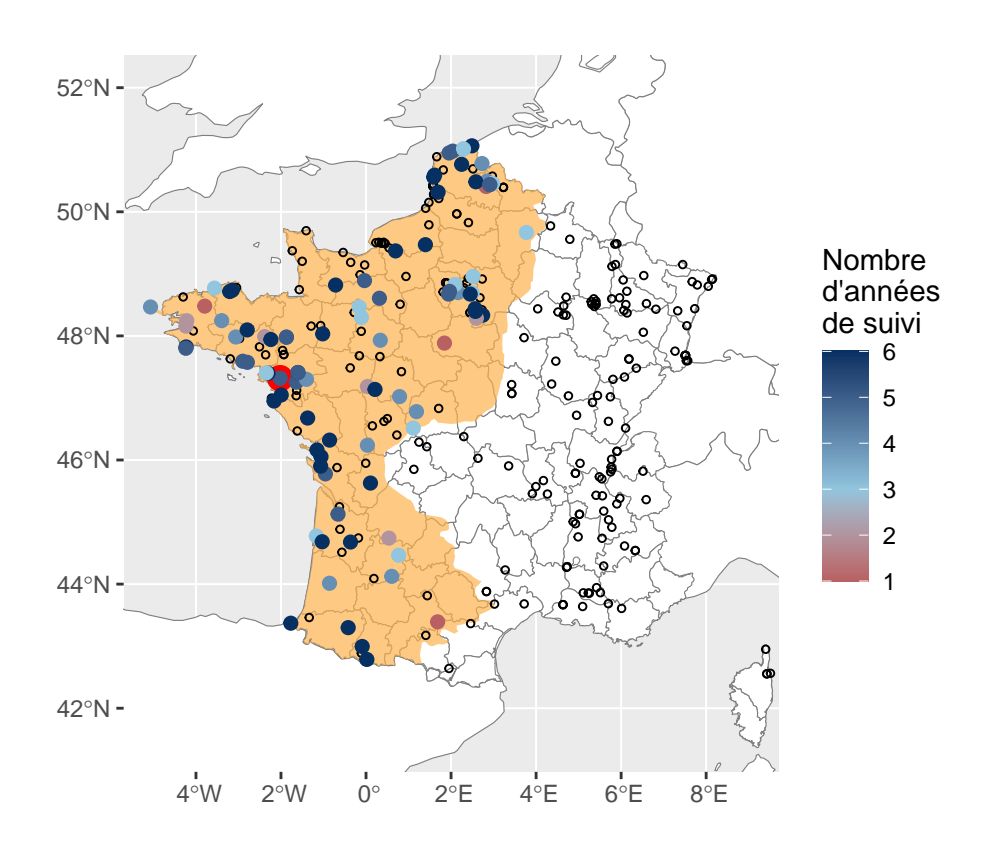


Figure 1: Localisation de la stations 1013 en rouge et des stations de même types avec lequelles elle est comparée en dégradé de bleu présentant le nombre d'années de données disponible pour la comparaison. Les stations notées par un petit cercle vide sont les stations qui ne sont pas utilisables pour caractériser la référence. La région atlantique est représentée par la zone orangée

La standardisation

Pour pouvoir comparer les valeurs d'indicateur entre stations il est indispensable de standardiser les données pour avoir un effort d'échantillonnage similaire. Nous exposons ci-après la procédure de standardisation appliquée dans l'état actuel de ces indicateurs (version 1.0). La méthode de calcul des indicateurs est susceptible de s'améliorer au fil des années et suivant les analyses, nous pouvons utiliser d'autres sélections de données avec d'autres critères.

NE déduisez PAS que les données que vous avez collectées mais qui ne sont pas utilisées ci-après sont inutiles (p. ex. des sessions supplémentaires, ou des longueurs de filet supérieures). La méthode de calcul des indicateurs est susceptible de s'améliorer au fil des années et suivant les analyses, nous pouvons utiliser d'autres sélections de données avec d'autres critères.

SVP, ne changez pas vos protocoles de suivi. Merci de les garder strictement à l'identique par rapport à vos années antérieures.

La sélection des sessions

Dans la présente version, les indicateurs sont calculés sur les données des 3 principales sessions annuelles de capture par station (comme défini dans le protocole). Si une de ces sessions n'a pas pu être réalisée, la valeur de l'indicateur n'est pas calculée pour l'année concernée (et donc n'apparaît pas dans les graphiques). De ces sessions ne sont conservées que les captures du matin c'est-à-dire de 4h à 15h.

Si seules 3 sessions sont retenues, il demeure nécessaire que les protocoles de suivi des sites STOC-Capture restent inchangés (par exemple : si il y a des sessions supplémentaires, longueur de filet supérieures, etc).

La sélection des 3 sessions est réalisée par une analyse des dates de session et des informations disponibles permettant d'évaluer leur validité pour le calcul des indicateurs. Cette sélection est réalisée de façon à optimiser deux critères de décision :

- Les moyennes des dates de chacune des trois sessions doivent être les plus proches des dates moyennes de session à l'échelle nationale. Ainsi lorsque la station réalise annuellement plus de 3 sessions nous ne retenons que les sessions les plus proches des dates des 3 sessions les plus fréquentes à l'échelle nationale. Cette recherche tient compte du décalage qui est demandé aux stations de montagne et de la région méditerranéenne.
- Les dates des 3 sessions doivent, année après année, rester le plus stable possible au sein de chaque station. Seules les sessions dont les dates sont éloignées de moins de 16 jours d'une des 3 dates de référence (calculées sur l'ensemble des dates des sessions) sont conservées. S'il y a plusieurs dates, nous choisissons la date la plus proche de la date de référence en favorisant une date de session valide (c'est à dire avec une durée de session et un nombre de captures qui semblent l'indiquer).

Le résultat du processus de sélection des sessions est représenté sur la figure 2. Ce processus sera amélioré à l'avenir pour répondre au mieux aux cas particuliers.

Les efforts de capture

Le dernier niveau de standardisation considère la longueur de filets utilisée. Celle-ci étant variable entre les différentes stations, le nombre de captures a été ramené à une longueur théorique de 120 mètres de filets. Pour résumer, par printemps, nous retenons 3 sessions, au cours desquelles on calcule les valeurs pour 120 mètres de filet déployés sur une matinée.

Cependant il arrive que la longueur de filet utilisé ne soit pas renseigné dans la base de données. C'est principalement le cas pour les données historique.

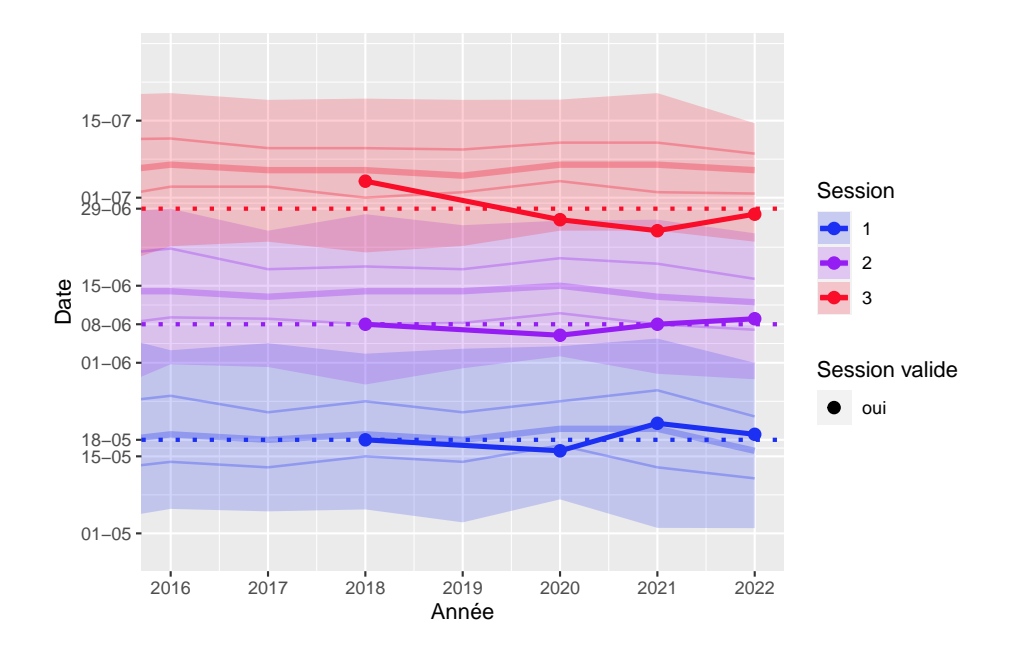


Figure 2: Les dates des 3 sessions selectionées pour la station 1013. Les lignes pointillées représentent les dates de référence pour la station calculées à partir des dates locales de session. Les points de couleur (bleu pour la session 1, violet pour la session 2 et rouge pour la session 3) indiquent les sessions concervées pour l'analyse des indicateurs. En couleur pale est indiquée la distribution des dates des sessions à l'échelle de référence (en gras la médiane, en trait fin les 50% autour de la médiane et en ombré la zone des 95%

Afin de pouvoir standardiser ces données, nous estimons la longueur de filets utilisée à partir de numéros de filet présents sur la station en considérant que tous les filets mesurent 12 mètres (ce que recommande le protocole).

Les longueurs de filets utilisées pour standardiser les captures sont notées dans la table 1.

Table 1: Les longueurs de filets lors des session de capture sur le site 1013.

Année	Session	Date	Longueur de filets (m)	Méthode
2018	1	2018-05-18	300	renseigné
2018	2	2018-06-08	300	renseigné
2018	3	2018-07-04	300	renseigné
2020	1	2020 - 05 - 15	300	renseigné
2020	2	2020-06-05	300	renseigné
2020	3	2020-06-26	300	étendu
2021	1	2021-05-21	300	renseigné
2021	2	2021-06-08	300	renseigné
2021	3	2021 - 06 - 25	300	renseigné
2022	1	2022 - 05 - 19	300	renseigné
2022	2	2022-06-09	300	renseigné
2022	3	2022-06-28	300	renseigné

Condition de calcul des indicateurs

Les seuils conditionnant le calcul des indicateurs ont été établis comme suit :

Indicateur	Seuils appliqués
Indice d'abondance	Au moins 5 individus adultes de l'espèce capturés sur l'ensemble des années
Indice de productivité	Nombre médian par station d'individus supérieur ou égal à 5 sur l'ensemble des années de suivi
Indice de condition corporelle	Nombre médian par station d'individus supérieur ou égal à 10 sur l'ensemble des années de suivi
Indice de taux de retour	Nombre médian par station d'individus supérieur ou égal à 10 sur l'ensemble des années de suivi

Variation temporelle des indicateurs

Comment interpréter les variations des indicateurs ?

Les figures de variation des indicateurs sont toutes construites sur le même modèle.

Ainsi les valeurs des indicateurs pour la station sont représentées en orange et se superposent aux valeurs de référence en bleu.

Les références nationales sont des quantiles. Nous en utilisons trois : la médiane, et les intervalles contenant 50% et 95% des valeurs des indicateurs (figure 3).

- La médiane est la valeur de l'indicateur qui sépare les sites en deux sous-ensembles de taille d'échantillon égale (c'est-à-dire un même nombre de stations).
- L'intervalle des 50% représente l'intervalle qui contient 50% des valeurs de l'indicateur autour de la médiane.
- L'intervalle des 95% représente l'intervalle qui contient 95% des valeurs de l'indicateur autour de la médiane.
- Au-delà des 95% il reste donc 5% des données que l'on considère comme les valeurs extrêmes et que nous ne représentons pas pour la référence nationale.

Pour chaque indicateur nous proposons dans un premier temps un indice pour l'ensemble de la communauté d'espèce, regroupant toutes les espèces quelle que soit leur abondance. Cette analyse à l'échelle de la communauté est pertinente biologiquement, mais aussi statistiquement car plus de la moitié des espèces sont capturées en trop faible nombre pour permettre de caractériser leur fonctionnement spécifique.

Dans un second temps nous proposons les indices par espèce, calculés pour les espèces pour lesquelles le nombre de données est considéré suffisant (cf. seuils évoqués plus haut). Ce second indicateur permet une analyse à l'échelle de chaque espèce. Il a pour but d'identifier, lorsque c'est le cas, la où les espèce(s) responsable(s) de ce que l'on observe au niveau de la communauté d'espèce.

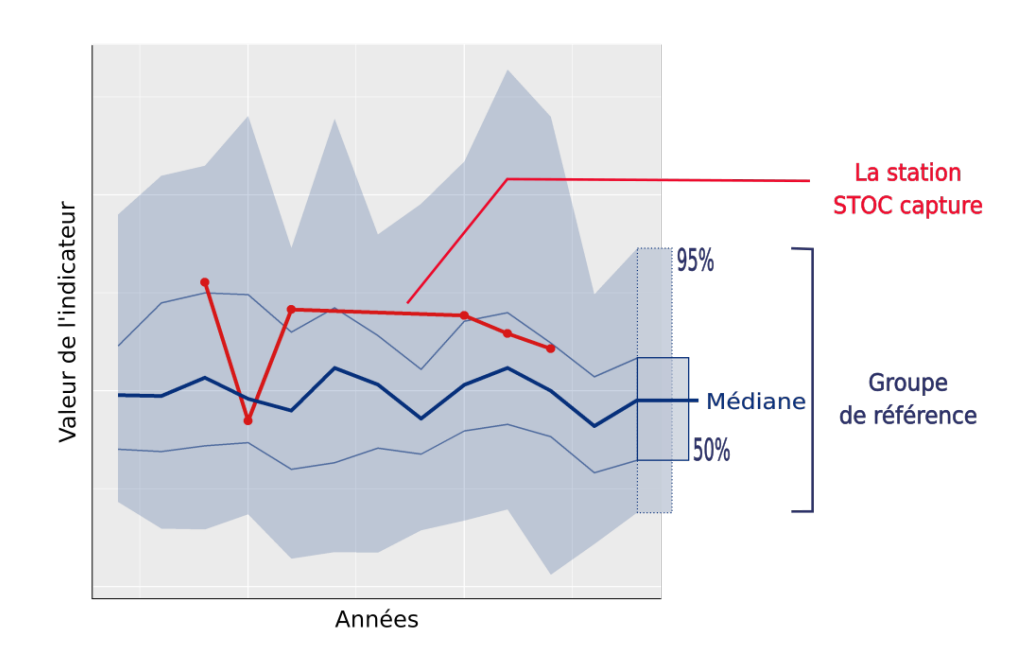


Figure 3: Aide à l'interprétation des figures des indicateurs au regard des variations temporelles nationales

Résultats

La communauté échantillonée

Ici nous considérons toutes les espèces capturées sur la station 1013. La figure 4 représente la constitution de la communauté locale et leurs effectifs capturés. Elle montre également la distribution des captures de ces espéces dans les stations de même type (parmi les stations qui capturent l'espéce). Ainsi la figure 4 permet d'apprécier les paricularités de la station.

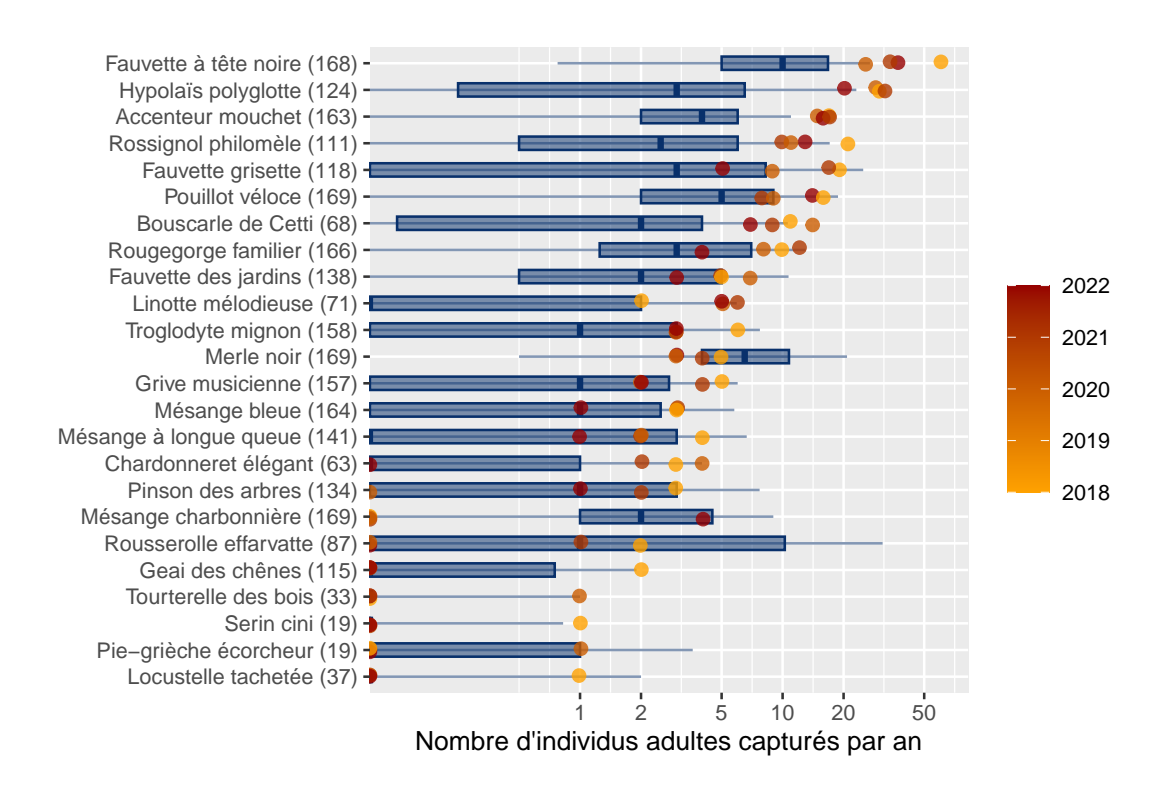


Figure 4: Nombre d'adulte capturés par espèce sur la station 1013, les points dégradés du jaune au rouge (correspondant aux années) représentent les données locales, les boîtes à moustaches bleues représentent la distribution atlantique de ces captures sur les stations de type Terrestre de la region 'atlantique 'et qui capturent l'espèce. Le nombre de stations qui capturent l'espèce est noté entre parenthèses

Table 3: Les espèces capturées sur le site 1013 et le nombre de capture utilisées pour les filtres des indicateurs.

Espèce	Adultes capturés	Médiane des captures annuelles	Migrateur
Fauvette à tête noire	157	85.5	Court
Hypolaïs polyglotte	111	33.0	Long
Accenteur mouchet	65	29.0	Court
Rossignol philomèle	55	19.0	Long
Fauvette grisette	50	21.0	Long
Pouillot véloce	47	32.0	Court
Bouscarle de Cetti	41	17.0	Court
Rougegorge familier	34	27.5	Court
Fauvette des jardins	20	7.0	Long
Linotte mélodieuse	18	6.0	Court
Troglodyte mignon	15	5.0	Court
Merle noir	15	9.0	Court
Grive musicienne	13	6.0	Court
Mésange bleue	10	7.0	Court
Mésange à longue queue	9	5.5	Court
Chardonneret élégant	9	3.0	Court
Pinson des arbres	6	4.0	Court
Mésange charbonnière	4	8.0	Court
Rousserolle effarvatte	3	0.5	Long
Geai des chênes	2	0.0	Court
Pie-grièche écorcheur	1	0.0	Long
Locustelle tachetée	1	0.0	Long
Serin cini	1	0.0	Court
Tourterelle des bois	1	0.0	Long

L'indice d'abondance des adultes comparé par habitat

Les variations locales d'abondance quantifient la résultante démographique (tailles de population) des effets combinés des variations de survie, de reproduction et de dispersion entre années. Cet indice d'abondance est calculé à partir des captures d'adultes et est standardisé pour correspondre aux captures sur 3 sessions par 120 métres de filets.

Nous présentons dans un premier temps, l'indice d'abondance pour la communauté d'espèces qui renseigne sur la taille globale de la communauté au sein de chaque groupe (figure 5).

Pour les 17 espèces (table 3) assez abondantes (plus de 5 captures d'adultes) les variations d'abondance sont présentées dans les figures 6-22.

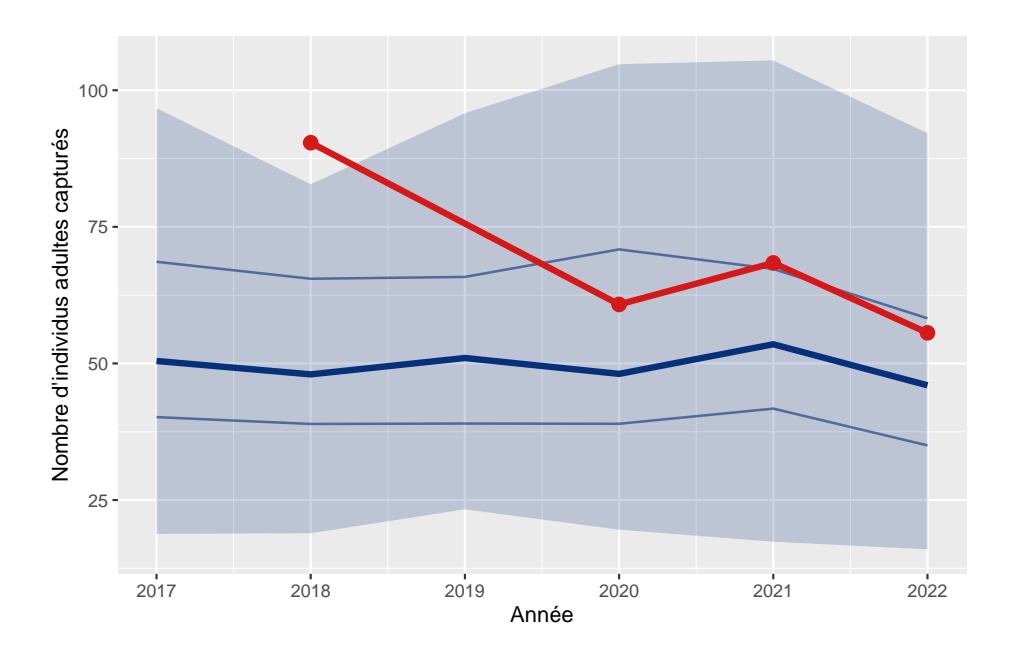


Figure 5: Variation du nombre d'adultes capturés pour la station 1013 comparée aux STOC-Capture de type Terrestre de la region 'atlantique '.

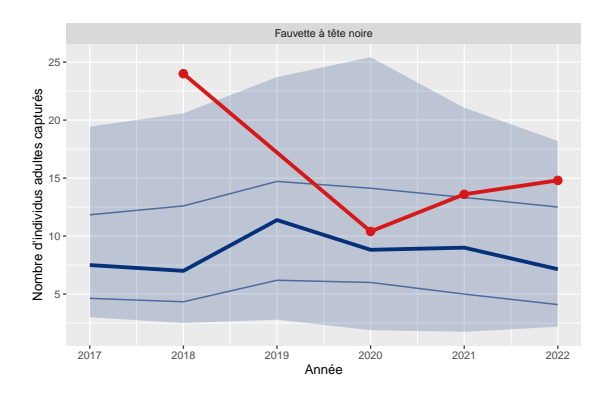


Figure 6: Variation du nombre d'adultes capturés de Fauvette à tête noire pour le station 1013 comparé aux STOC-Capture de type Terrestre de la region 'atlantique '(n=168)

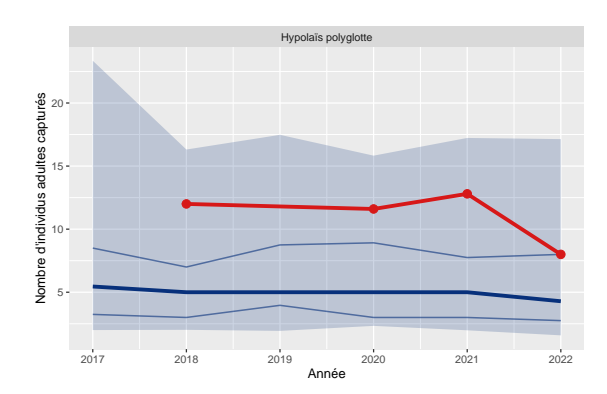


Figure 7: Variation du nombre d'adultes capturés de Hypolaïs polyglotte pour le station 1013 comparé aux STOC-Capture de type Terrestre de la region 'atlantique '(n=124)

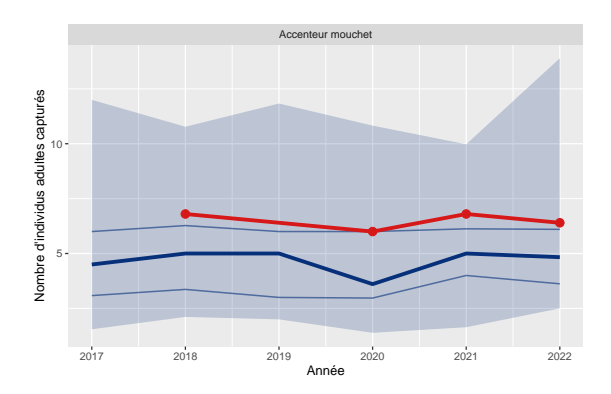


Figure 8: Variation du nombre d'adultes capturés de Accenteur mouchet pour le station 1013 comparé aux STOC-Capture de type Terrestre de la region 'atlantique '(n=163)

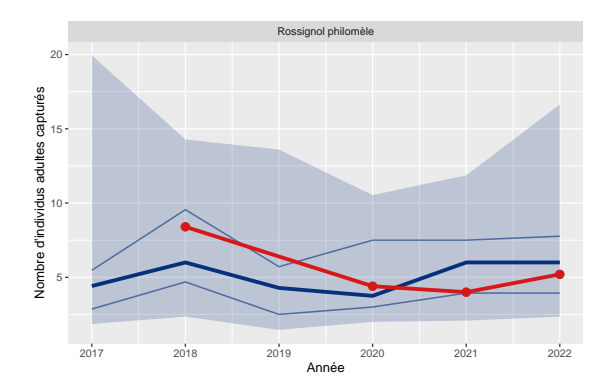


Figure 9: Variation du nombre d'adultes capturés de Rossignol philomèle pour le station 1013 comparé aux STOC-Capture de type Terrestre de la region 'atlantique '(n=111)

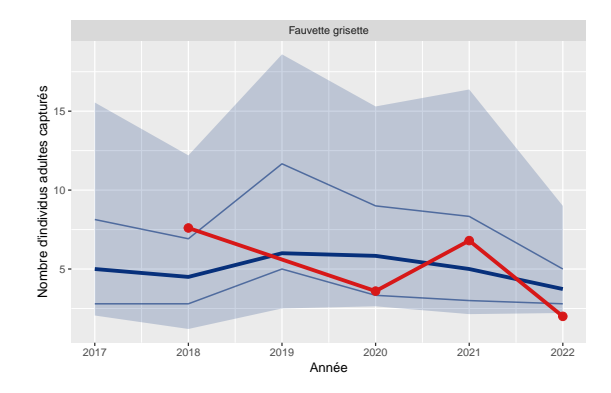


Figure 10: Variation du nombre d'adultes capturés de Fauvette grisette pour le station 1013 comparé aux STOC-Capture de type Terrestre de la region 'atlantique '(n=118)

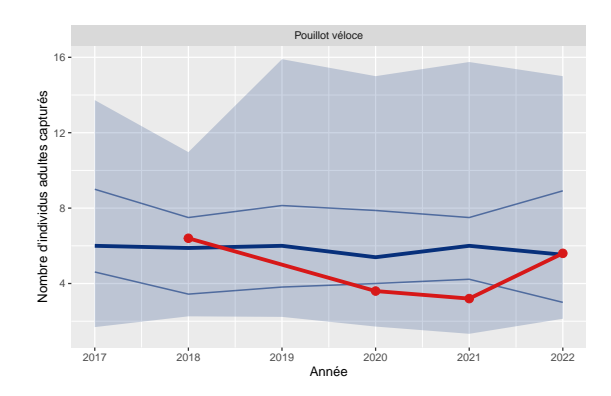


Figure 11: Variation du nombre d'adultes capturés de Pouillot véloce pour le station 1013 comparé aux STOC-Capture de type Terrestre de la region 'atlantique '(n=169)

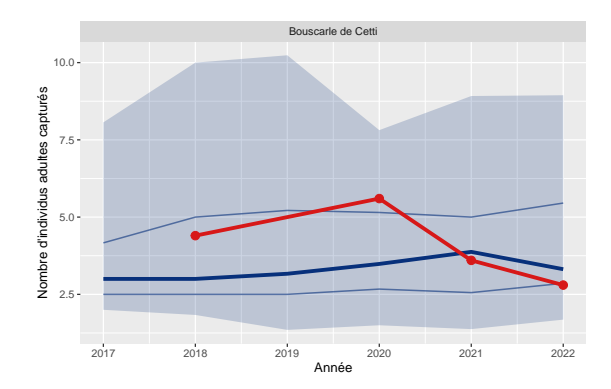


Figure 12: Variation du nombre d'adultes capturés de Bouscarle de Cetti pour le station 1013 comparé aux STOC-Capture de type Terrestre de la region 'atlantique '(n=68)

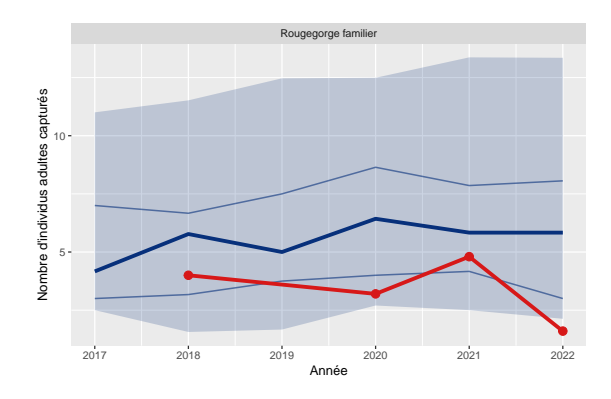


Figure 13: Variation du nombre d'adultes capturés de Rougegorge familier pour le station 1013 comparé aux STOC-Capture de type Terrestre de la region 'atlantique '(n=166)

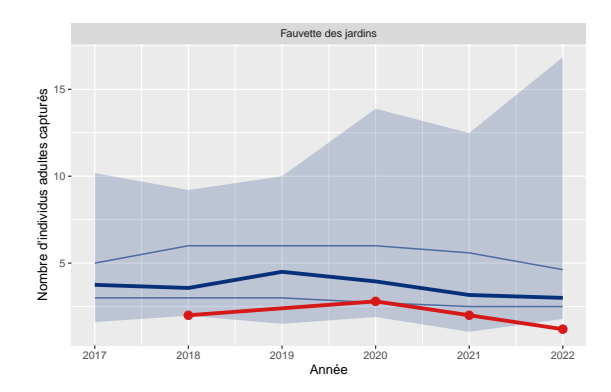


Figure 14: Variation du nombre d'adultes capturés de Fauvette des jardins pour le station 1013 comparé aux STOC-Capture de type Terrestre de la region 'atlantique '(n=138)

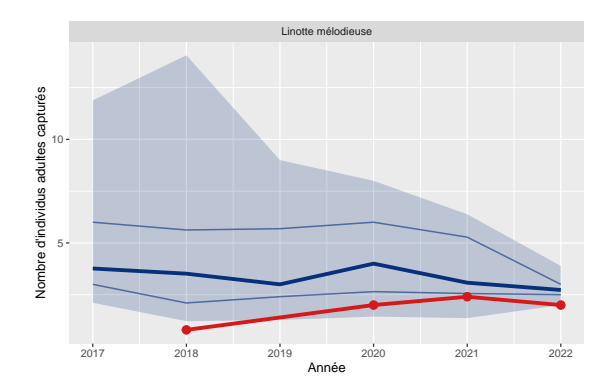


Figure 15: Variation du nombre d'adultes capturés de Linotte mélodieuse pour le station 1013 comparé aux STOC-Capture de type Terrestre de la region 'atlantique '(n=71)

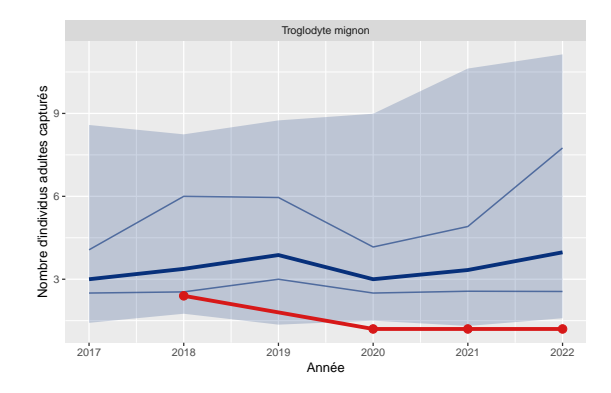


Figure 16: Variation du nombre d'adultes capturés de Troglodyte mignon pour le station 1013 comparé aux STOC-Capture de type Terrestre de la region 'atlantique '(n=158)

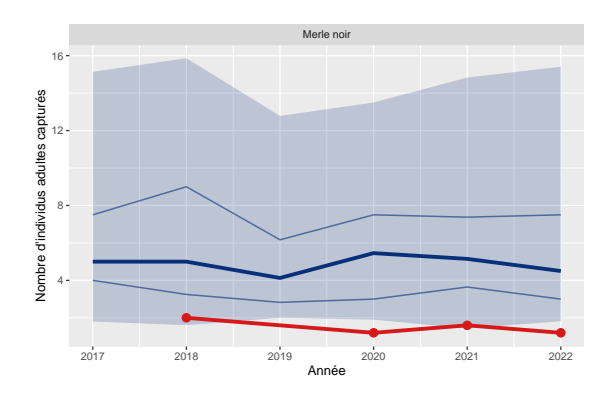


Figure 17: Variation du nombre d'adultes capturés de Merle noir pour le station 1013 comparé aux STOC-Capture de type Terrestre de la region 'atlantique '(n=169)

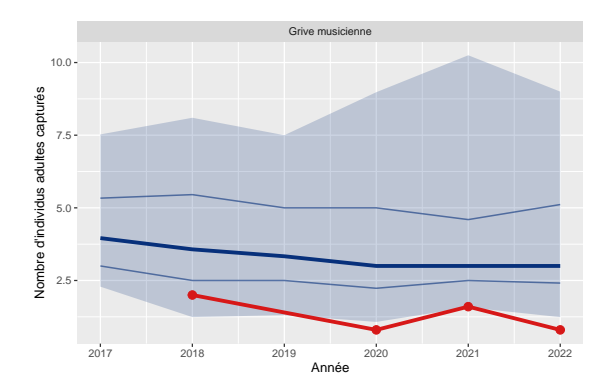


Figure 18: Variation du nombre d'adultes capturés de Grive musicienne pour le station 1013 comparé aux STOC-Capture de type Terrestre de la region 'atlantique '(n=157)

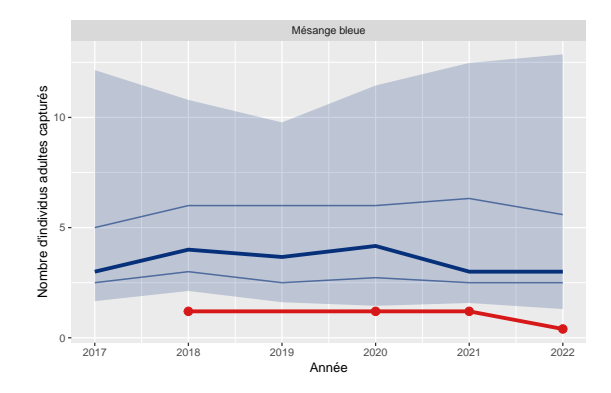


Figure 19: Variation du nombre d'adultes capturés de Mésange bleue pour le station 1013 comparé aux STOC-Capture de type Terrestre de la region 'atlantique '(n=164)

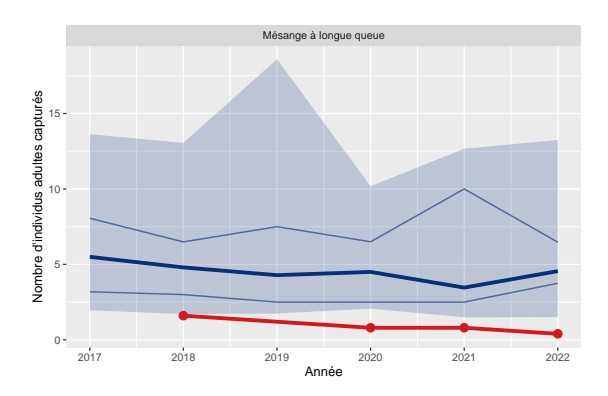


Figure 20: Variation du nombre d'adultes capturés de Mésange à longue queue pour le station 1013 comparé aux STOC-Capture de type Terrestre de la region 'atlantique '(n=141)

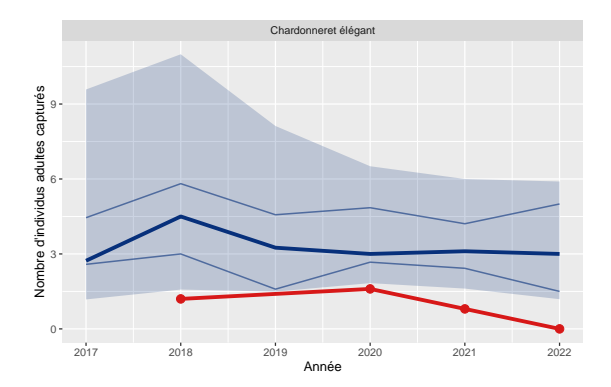


Figure 21: Variation du nombre d'adultes capturés de Chardonneret élégant pour le station 1013 comparé aux STOC-Capture de type Terrestre de la region 'atlantique '(n=63)

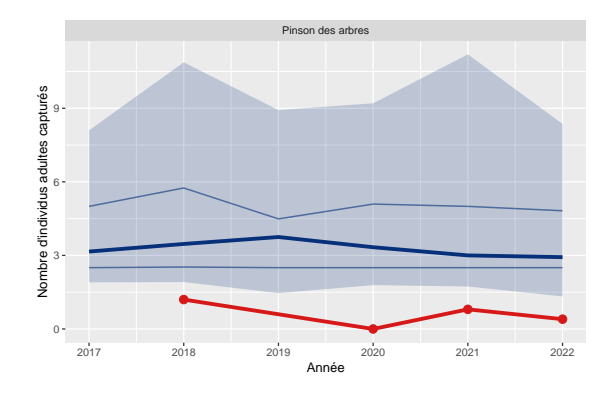


Figure 22: Variation du nombre d'adultes capturés de Pinson des arbres pour le station 1013 comparé aux STOC-Capture de type Terrestre de la region 'atlantique '(n=134)

L'indice de productivité

L'indice de productivité correspond au nombre de jeunes produits par adulte. Il reflète les effets des conditions environnementales sur la reproduction et la survie jusqu'à l'envol (à nombre d'adultes égaux, donc indépendamment des fluctuations de taille de population reproductrice). Il renseigne ainsi sur la variation de la qualité de l'habitat pour la reproduction des passereaux communs.

Cet indice de productivité est défini comme le nombre de jeunes divisé par le nombre d'adultes (capturés sur les 3 sessions) tel que :

$$\frac{N_{juv}}{N_{Ad}} \tag{1}$$

Enfin cet indice est tout d'abord calculé de façon globale pour la communauté en regroupant les espèces selon le type de migration qu'elles réalisent ("Court" pour à courte distance, "Long" pour à longue distance, voir la figure 23). En effet, la productivité documentée étant très différente entre les migrateurs à longue distance (transsahariens) et les autres espèces, l'indice de productivité est calculé séparément pour ces deux groupes d'espèces.

Pour les 16 espèces (table 3) assez abondantes (nombre médian d'individus capturés supérieur ou égal à 5) les variations des productivité sont présentées dans les figures 24-39.

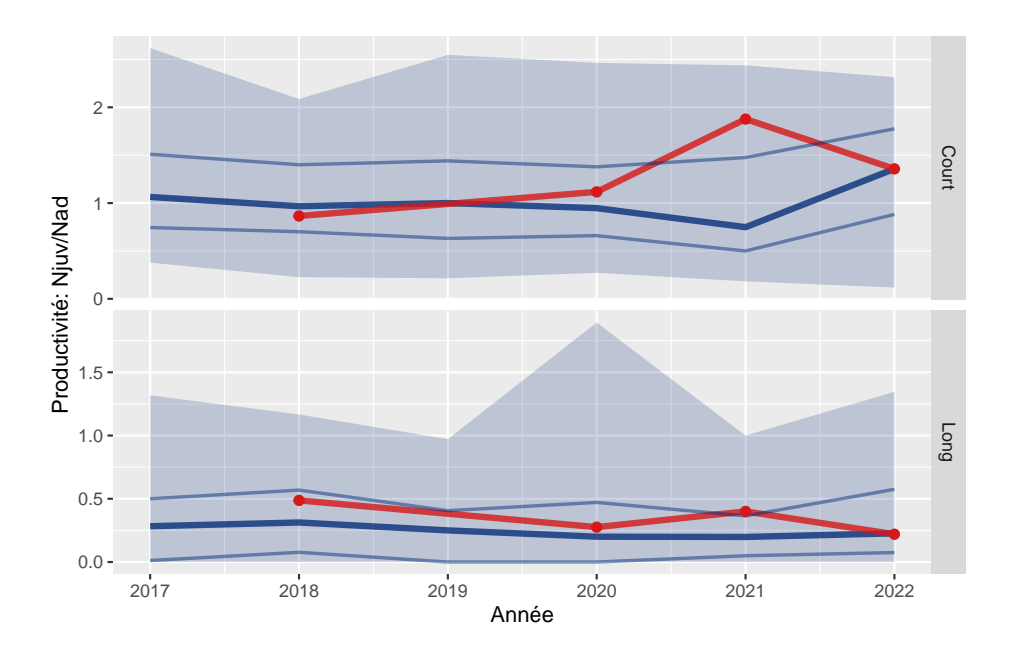


Figure 23: Variation de la productivité globale pour la station 1013. En bleu, la variation nationale des quantiles de l'indicateur (médiane, 50% et 95%) pour les station de type Terrestre de la region 'atlantique ', en rouge la variation pour la station 1013.

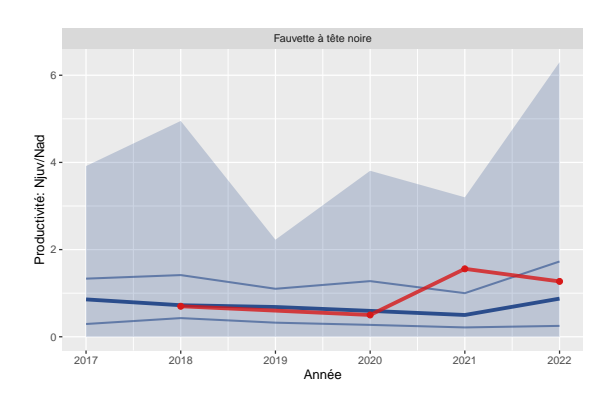


Figure 24: Variation de la productivité de Fauvette à tête noire pour la station 1013 comparée aux STOC-Capture de type Terrestre de la region 'atlantique '(n=168)

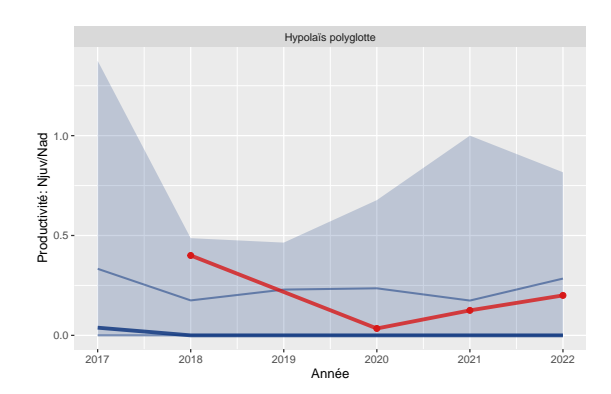


Figure 25: Variation de la productivité de Hypolaïs polyglotte pour la station 1013 comparée aux STOC-Capture de type Terrestre de la region 'atlantique '(n=124)

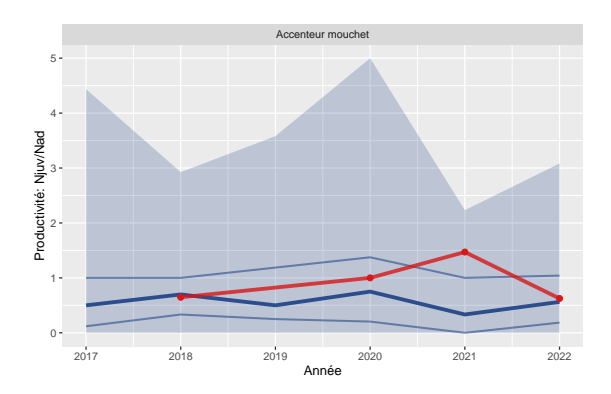


Figure 26: Variation de la productivité de Accenteur mouchet pour la station 1013 comparée aux STOC-Capture de type Terrestre de la region 'atlantique '(n=163)

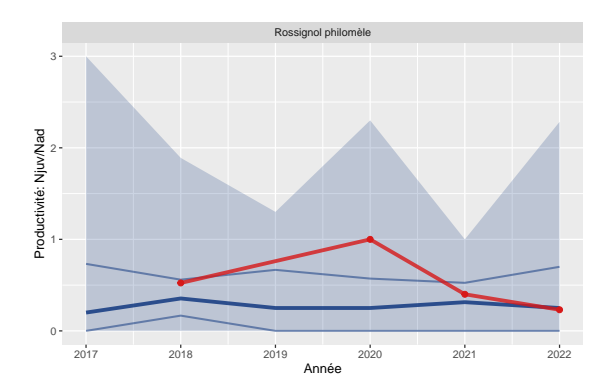


Figure 27: Variation de la productivité de Rossignol philomèle pour la station 1013 comparée aux STOC-Capture de type Terrestre de la region 'atlantique '(n=111)

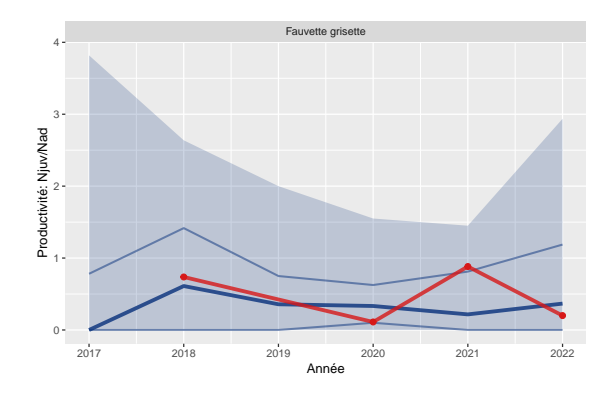


Figure 28: Variation de la productivité de Fauvette grisette pour la station 1013 comparée aux STOC-Capture de type Terrestre de la region 'atlantique ' (n=118)

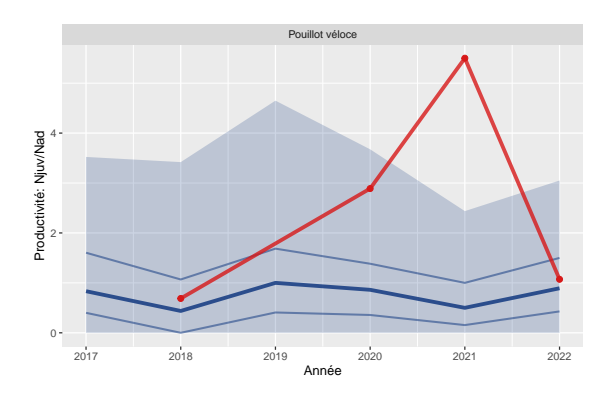


Figure 29: Variation de la productivité de Pouillot véloce pour la station 1013 comparée aux STOC-Capture de type Terrestre de la region ' atlantique ' (n=169)

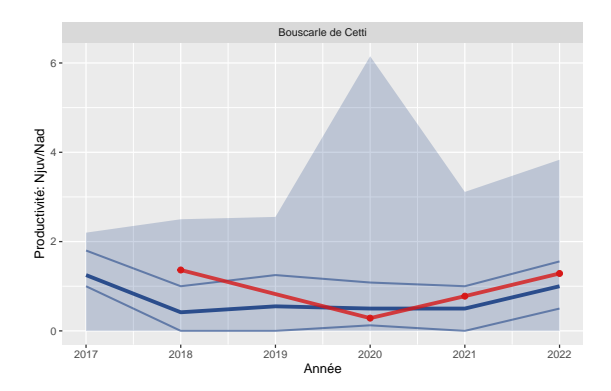


Figure 30: Variation de la productivité de Bouscarle de Cetti pour la station 1013 comparée aux STOC-Capture de type Terrestre de la region 'atlantique '(n=68)

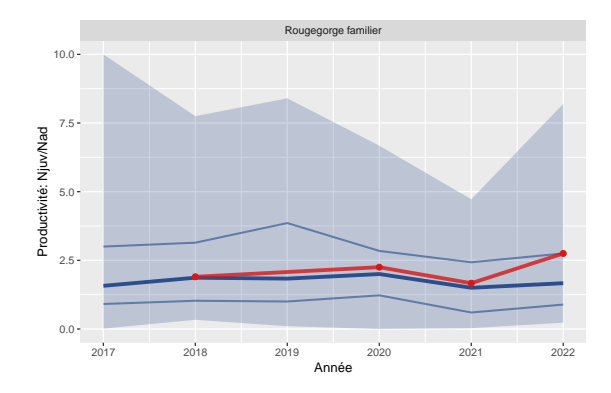


Figure 31: Variation de la productivité de Rougegorge familier pour la station 1013 comparée aux STOC-Capture de type Terrestre de la region 'atlantique '(n=166)

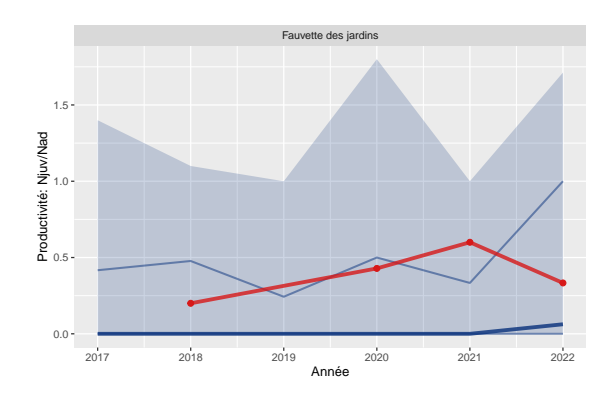


Figure 32: Variation de la productivité de Fauvette des jardins pour la station 1013 comparée aux STOC-Capture de type Terrestre de la region 'atlantique '(n=138)

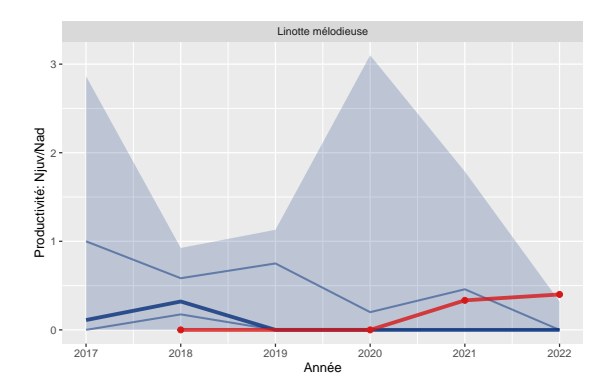


Figure 33: Variation de la productivité de Linotte mélodieuse pour la station 1013 comparée aux STOC-Capture de type Terrestre de la region 'atlantique '(n=71)

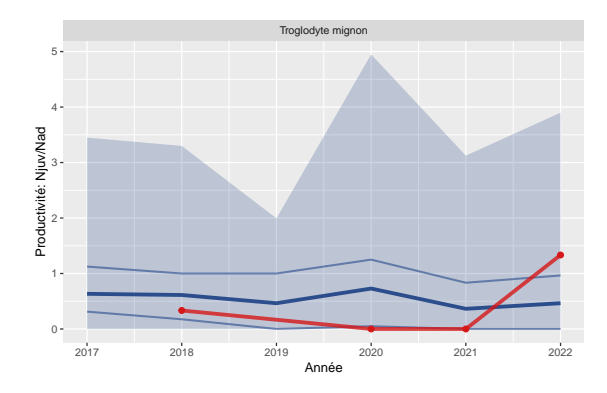


Figure 34: Variation de la productivité de Troglodyte mignon pour la station 1013 comparée aux STOC-Capture de type Terrestre de la region 'atlantique '(n=158)

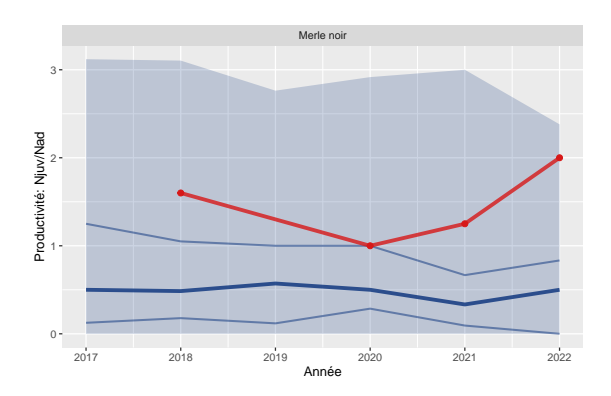


Figure 35: Variation de la productivité de Merle noir pour la station 1013 comparée aux STOC-Capture de type Terrestre de la region 'atlantique '(n=169)

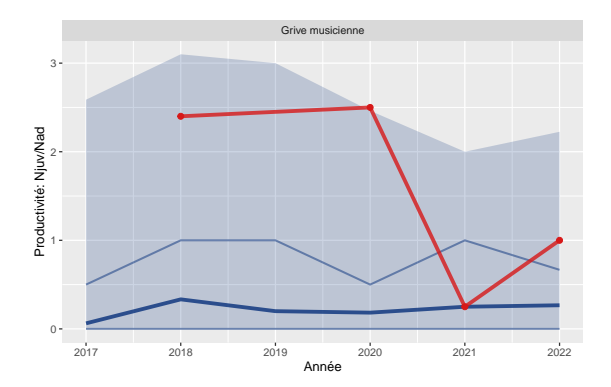


Figure 36: Variation de la productivité de Grive musicienne pour la station 1013 comparée aux STOC-Capture de type Terrestre de la region 'atlantique '(n=157)

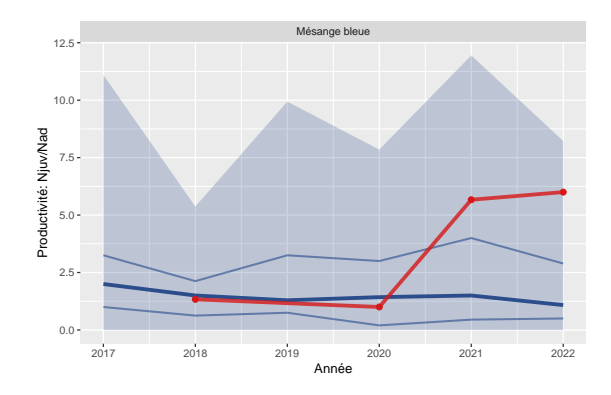


Figure 37: Variation de la productivité de Mésange bleue pour la station 1013 comparée aux STOC-Capture de type Terrestre de la region ' atlantique ' (n=164)

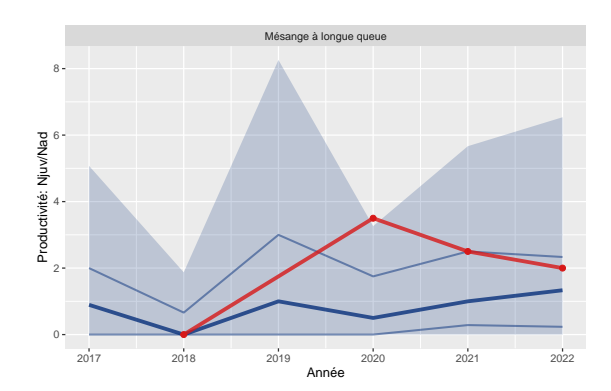


Figure 38: Variation de la productivité de Mésange à longue que ue pour la station 1013 comparée aux STOC-Capture de type Terrestre de la region 'atlantique '(n=141)

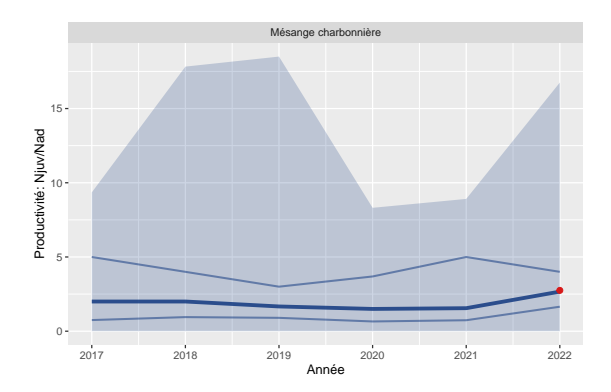


Figure 39: Variation de la productivité de Mésange charbonnière pour la station 1013 comparée aux STOC-Capture de type Terrestre de la region 'atlantique '(n=169)

L'indice de la condition corporelle

En période de reproduction, la condition corporelle des individus est principalement influencée par les conditions météorologiques et la disponibilité alimentaire au cours des semaines et mois passés, qui affectent la ration alimentaire des jeunes et la condition physique des adultes qui nourrissent les jeunes. \

L'indice est calculé de façon globale pour la communauté regroupant les individus selon deux classes d'âge (juvénile et adulte ; figure 40) tel que la condition corporelle d'un individu i est la standardisation de sa masse M_i par la masse de moyenne \bar{m} de son espèce s et de sa classe d'âge a comme suit:

Condition corporelle_i =
$$\frac{M_{i,s,a} - \bar{m}_{s,a}}{\bar{m}_{s,a}}$$
 (2)

Pour les 8 espèces (Fauvette à tête noire, Hypolaïs polyglotte, Accenteur mouchet, Rossignol philomèle, Fauvette grisette, Pouillot véloce, Bouscarle de Cetti, Rougegorge familier) assez abondantes (nombre médian d'individus capturés supérieur ou égal à 10 table, **3** et pour lesquelles le calcul est possible les variations des conditions corporelles sont présentées dans les figures **41-48**.

L'indice spécifique est calculé tel que la condition corporelle spécifique d'un individu i est la standardisation de sa masse M_i par l'écart de sa longueur d'aile pliée (LP) \check{l} à la taille moyenne de la LP \bar{l} de son espèce s et de sa classe d'âge a comme suit:

Condition corporelle spécifique_i =
$$\frac{M_{i,s,a}}{\breve{l}_{s,a}}$$
 (3)

$$\tilde{l}_{s,a} = \frac{L_{i,s,a} - \bar{l}_{s,a}}{\bar{l}_{s,a}} + 1$$
(4)

Condition corporelle spécifique_i =
$$\frac{M_{i,s,a}}{\breve{l}_{s,a}}$$
 (5)

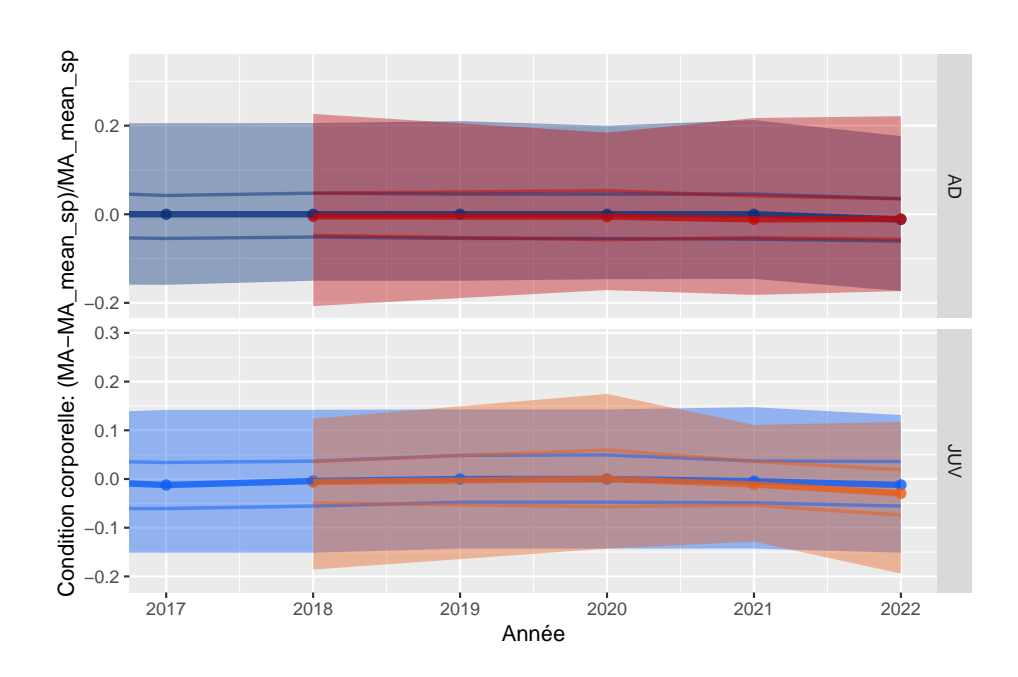


Figure 40: Variation de la condition corporelle globale pour la station 1013. En bleu, la variation des quantiles de l'indicateur de référence (médiane, 50% et 95%) pour les stations de type Terrestre de la region 'atlantique ', en rouge et orange la variation pour la station 1013

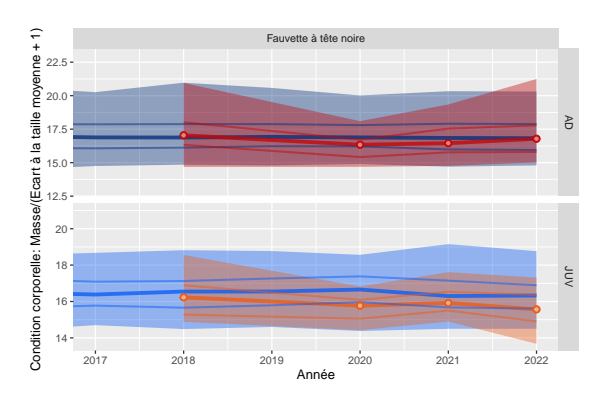


Figure 41: Variation de la condition corporelle des Fauvette à tête noire pour le station 1013 comparée aux STOC-Capture de type Terrestre de la region 'atlantique '(n=168)

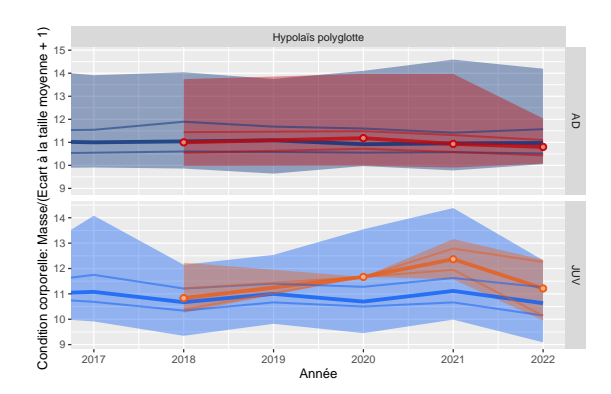


Figure 42: Variation de la condition corporelle des Hypolaïs polyglotte pour le station 1013 comparée aux STOC-Capture de type Terrestre de la region 'atlantique '(n=124)

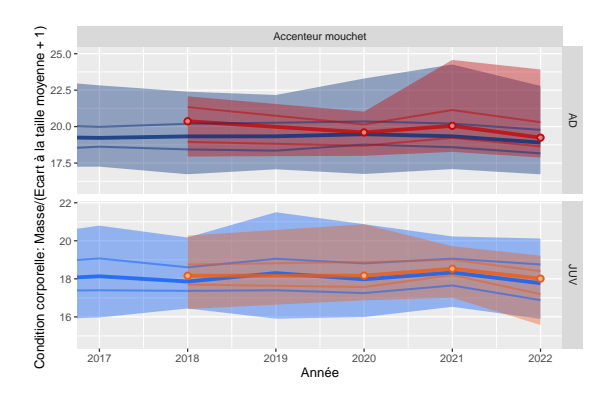


Figure 43: Variation de la condition corporelle des Accenteur mouchet pour le station 1013 comparée aux STOC-Capture de type Terrestre de la region 'atlantique '(n=163)

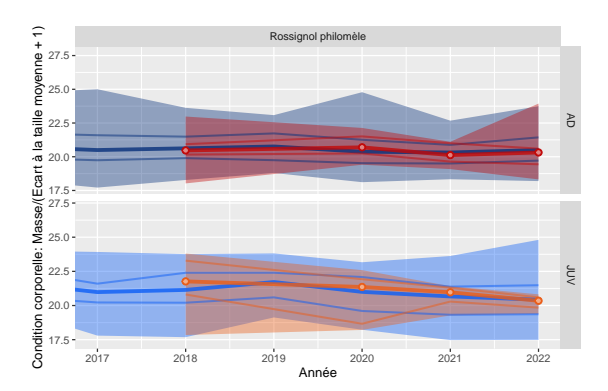


Figure 44: Variation de la condition corporelle des Rossignol philomèle pour le station 1013 comparée aux STOC-Capture de type Terrestre de la region 'atlantique '(n=111)

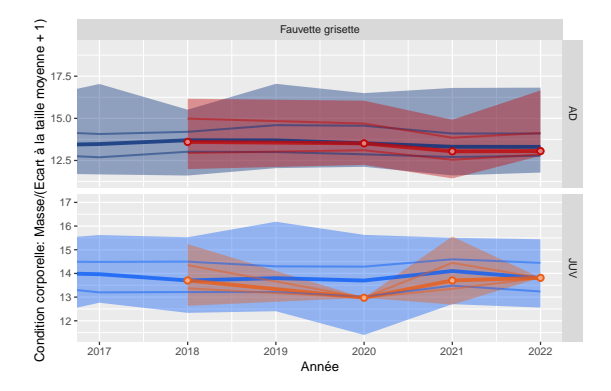


Figure 45: Variation de la condition corporelle des Fauvette grisette pour le station 1013 comparée aux STOC-Capture de type Terrestre de la region 'atlantique '(n=118)

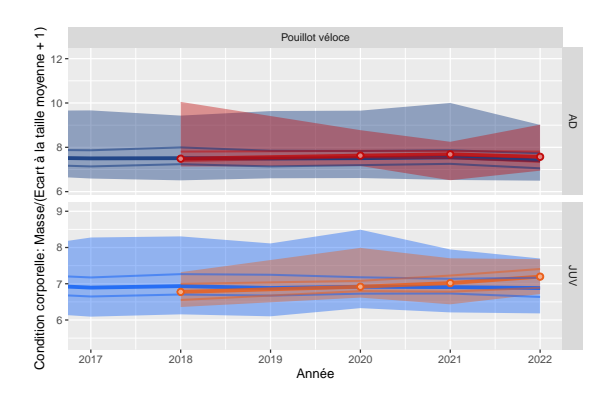


Figure 46: Variation de la condition corporelle des Pouillot véloce pour le station 1013 comparée aux STOC-Capture de type Terrestre de la region 'atlantique '(n=169)

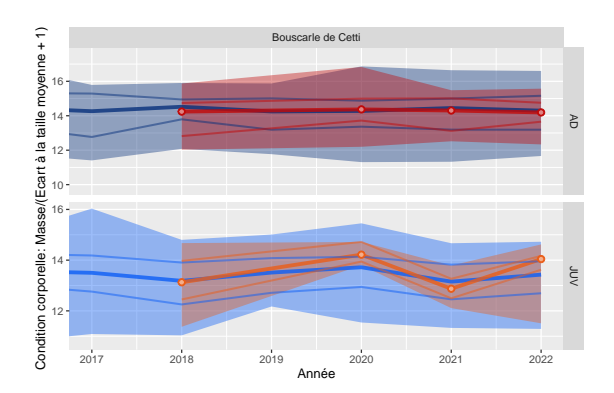


Figure 47: Variation de la condition corporelle des Bouscarle de Cetti pour le station 1013 comparée aux STOC-Capture de type Terrestre de la region 'atlantique '(n=68)

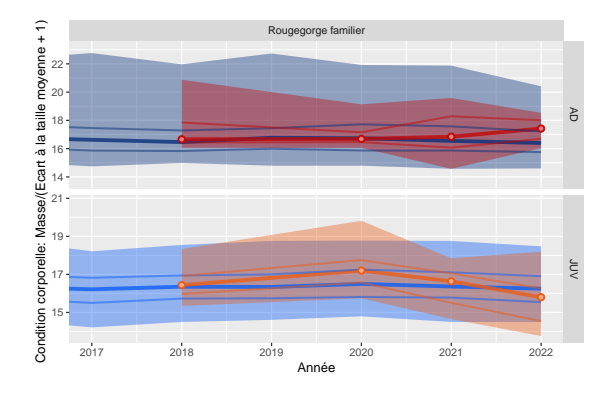


Figure 48: Variation de la condition corporelle des Rougegorge familier pour le station 1013 comparée aux STOC-Capture de type Terrestre de la region 'atlantique '(n=166)

Indice de survie locale : le taux de retour entre années

Le taux de retour des individus correspond à la proportion des individus capturés l'année t qui sont recapturés l'année t+1. Il est la résultante de la survie annuelle et de la fidélité des individus au site de reproduction (pour les adultes) ou au site de naissance (pour les juvéniles).

Pour le calcul de cet indicateur, il faut au moins 2 ans de suivi consécutifs.

L'indice du taux de retour est calculé et représenté pour la communauté d'espèces, par classe d'âge et type de migration (figure 49).

Pour les 8 espèces (table 3) assez abondantes (nombre médian d'individus capturés supérieur ou égal à 10), les variations du taux de retour sont présentées dans les figures 50-57.

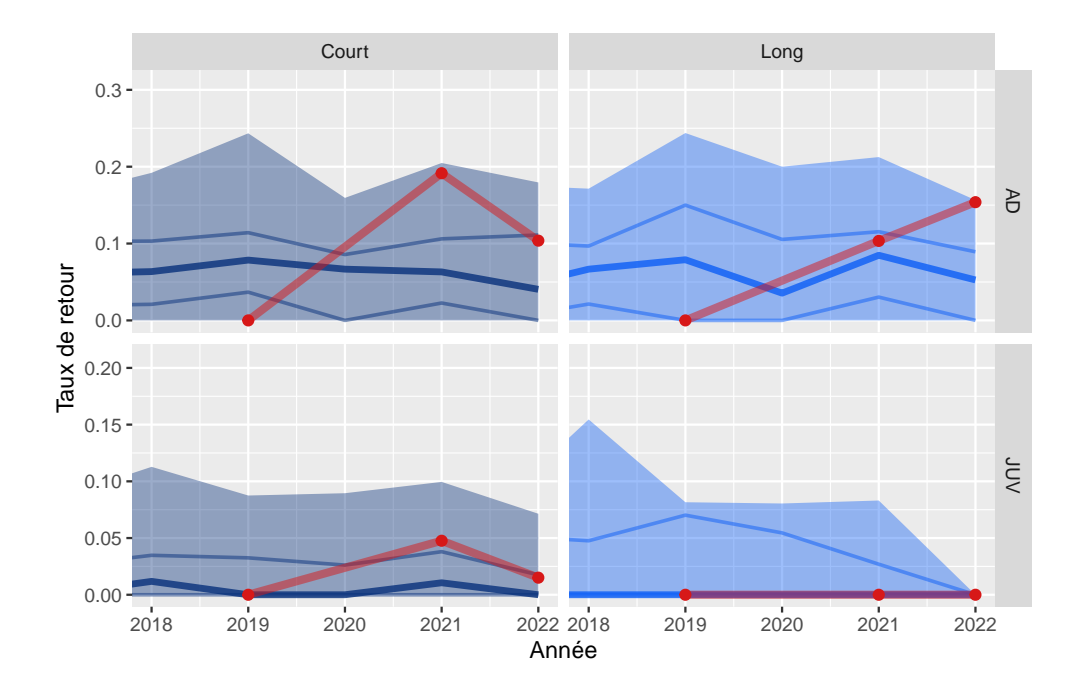


Figure 49: Variation du taux de retour sur l'ensemble des espéces pour la station 1013. Le taux de retour de l'année t est la proportion des individus qui sont revus à l'année t+1. En bleu, la variation des quantiles de l'indicateur de référence (médiane, 50% et 95%) des stations de type Terrestre de la region 'atlantique ', en rouge et orange la variation pour la station 1013.

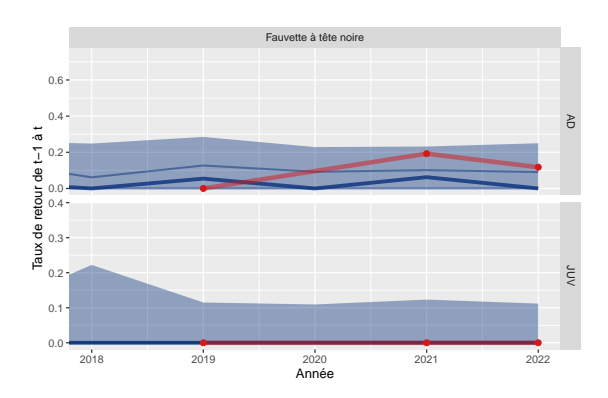


Figure 50: Variation du taux de retour de Fauvette à tête noire pour la station 1013 comparée aux STOC-Capture de type Terrestre de la region 'atlantique '(n=168)

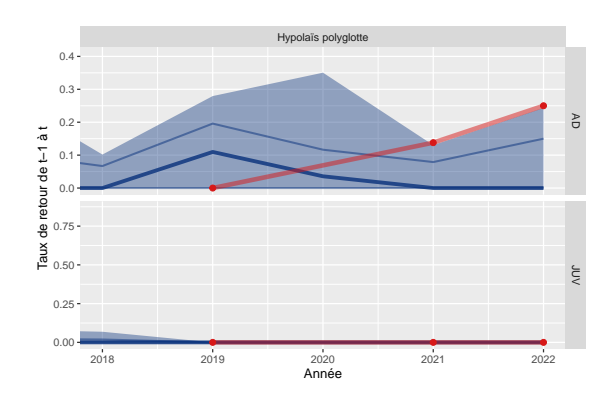


Figure 51: Variation du taux de retour de Hypolaïs polyglotte pour la station 1013 comparée aux STOC-Capture de type Terrestre de la region 'atlantique '(n=124)

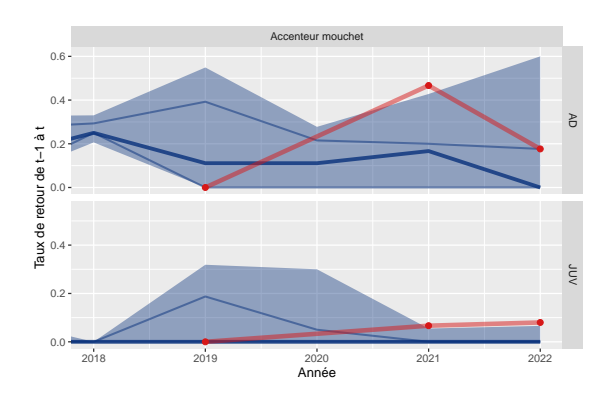


Figure 52: Variation du taux de retour de Accenteur mouchet pour la station 1013 comparée aux STOC-Capture de type Terrestre de la region 'atlantique '(n=163)

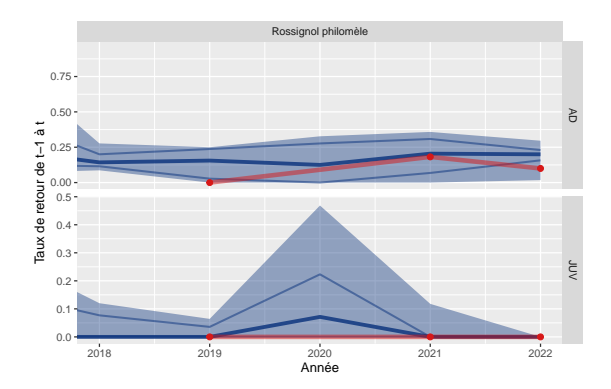


Figure 53: Variation du taux de retour de Rossignol philomèle pour la station 1013 comparée aux STOC-Capture de type Terrestre de la region 'atlantique '(n=111)

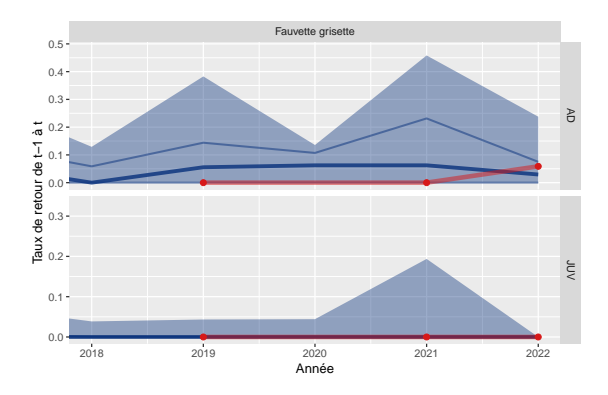


Figure 54: Variation du taux de retour de Fauvette grisette pour la station 1013 comparée aux STOC-Capture de type Terrestre de la region 'atlantique '(n=118)

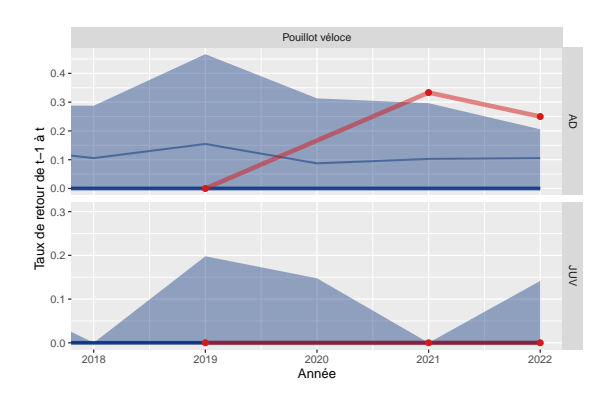


Figure 55: Variation du taux de retour de Pouillot véloce pour la station 1013 comparée aux STOC-Capture de type Terrestre de la region 'atlantique '(n=169)

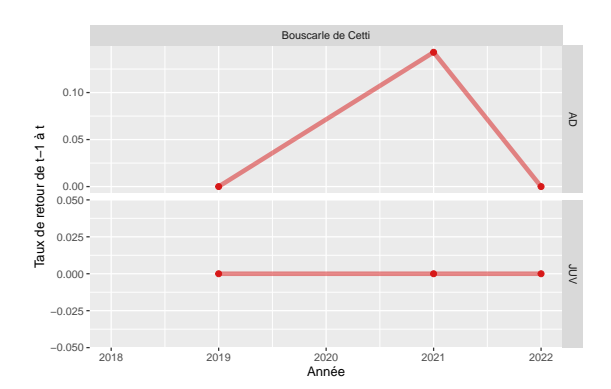


Figure 56: Variation du taux de retour de Bouscarle de Cetti pour la station 1013 comparée aux STOC-Capture de type Terrestre de la region 'atlantique '(n=68)

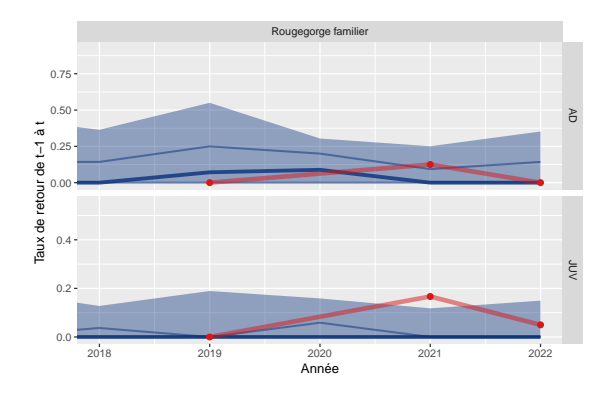


Figure 57: Variation du taux de retour de Rougegorge familier pour la station 1013 comparée aux STOC-Capture de type Terrestre de la region 'atlantique '(n=166)